

- [3] Винокур В. М., Кравченко В. Я. // ФТП. 1975. Т. 9. В. 7. С. 1346—1350.  
[4] Read W. T. // Phil. Mag. 1954. V. 45. P. 775—786.  
[5] Ансельм А. И. Введение в теорию полупроводников. М., 1978. 615 с.

Институт физики твердого тела  
АН СССР  
Черноголовка

Получено 3.10.1990  
Принято к печати 9.10.1990

ФТП, том 25, вып. 6, 1991

## КОЛЕБАТЕЛЬНЫЕ ИК СПЕКТРЫ SiAs

Сырбу Н. Н., Хачатурова С. Б., Олиференко Н. М.,  
Бурка А., Лукин А. Н.

Для изготовления материалов *n*-типа проводимости кремний легируется фосфором и мышьяком. В литературе имеется большое количество исследований донорных примесей в кремнии. Обычно концентрация As и P в кремнии значительно меньше 1 % от химического состава, что не ведет к значительным изменениям в кристаллической структуре. Однако, если добавить в большом количестве As и P в кремний, то в Si образуются комплексы, соответствующие соединениям SiAs, SiAs<sub>2</sub> или SiP [1—4]. Колебательные моды этих соединений могут сказываться и в сильно легированных слоях кремния как молекулярные включения. Исследованию полупроводниковых свойств этих материалов посвящен ряд работ [5—8]. Исследования колебательных спектров в ИК области нам не известны.

В данной работе исследованы оптические спектры поглощения и отражения в поляризованном свете монокристаллов SiAs в однофононной и двухфононной областях поглощения, рассчитаны контуры спектров в многоосцилляторной модели и определены параметры ИК активных фононов в области 500—50 см<sup>−1</sup>.

Монокристаллы, выращенные методом Бриджмена, имели сантиметровые размеры и зеркальные гладкие сколы. Измерения проведены на спектрометрах Specord M-80 и вакуумном спектрометре КСДИ-82.

Спектры отражения монокристаллов SiAs представлены на рис. 1, *a* и 2, *a*. В обеих поляризациях спектры отражения содержат ярко выраженные пики, характерные для осцилляторов с сильной поляризацией. Для ориентации  $E \parallel b$  в SiAs наблюдаются две сильные полосы в области 350—400 см<sup>−1</sup>, а

Параметры фононов SiAs

Поляризация	Мода	$\nu_{oj}$ , см <sup>−1</sup>	$\nu_{Lj}$ , см <sup>−1</sup>	$\nu_{Lj}$ , см <sup>−1</sup>	$\Gamma$ , см <sup>−1</sup>	$\epsilon_{\infty j}$	$4\pi f_j$	$\epsilon_{\infty}$	$\epsilon_s$
$E \parallel C$	1	122	6.0	128	7.2	12.1	0.200	$\epsilon_{\infty} = 7.7$	$\epsilon_s = 9.2$
	2	135.5	1.5	137.0	1.0	17.6	0.160		
	3	174.4	14.4	188.6	31.0	17.2	3.0		
	4	364.2	3.2	364.4	6.3	10.8	0.176		
	5	374.1	9.5	383.6	4.0	22.0	0.515		
$E \perp C$	1	68	12	80	35	4.9	3.3	$\epsilon_{\infty} = 5.8$	$\epsilon_s = 9.4$
	2	102	18	120	35	4.8	3.3		
	3	142	10	152	4.8	3.7	0.6		
	4	181	12	193	5.1	3.6	0.7		
	5	204	15	219	32	4.8	3.1		
	6	268.9	5.7	274.6	3.8	5.6	0.277		
	7	313.5	2.0	315.5	4.6	4.6	0.083		
	8	321.0	3.6	394.6	2.99	6.3	0.121		
	9	400.4	1.5	401.9	3.8	3.8	0.049		
	10	423.0	1.3	424.3	7.2	4.9	0.036		

в  $E \perp C$  — полосы в области  $380—450 \text{ см}^{-1}$ . В поляризации  $E \parallel b$  в кристаллах SiAs ИК активными являются полосы 1—5 (рис. 1, а) и в поляризации  $E \perp b$  активны 1—10 (рис. 2, а).

Для определения оптических констант SiAs в области однофононного резонанса использовалась многоосцилляторная модель, в которой дисперсия диэлектрической проницаемости в исследуемой области частот описывается выражением

$$\epsilon(\omega) = \epsilon_{\infty} + \sum_{j=1}^N \frac{\epsilon_{\infty} (\omega_{ij}^2 - \omega^2)}{\omega_{ij}^2 - \omega^2 - i\omega\Gamma_j},$$

где,  $\epsilon_{\infty}$  — высокочастотная диэлектрическая проницаемость кристалла,  $N$  — количество осцилляторов,  $\Gamma_j$ ,  $\omega_{ij}$  и  $\omega_{tj}$  — затухание, продольные и поперечные

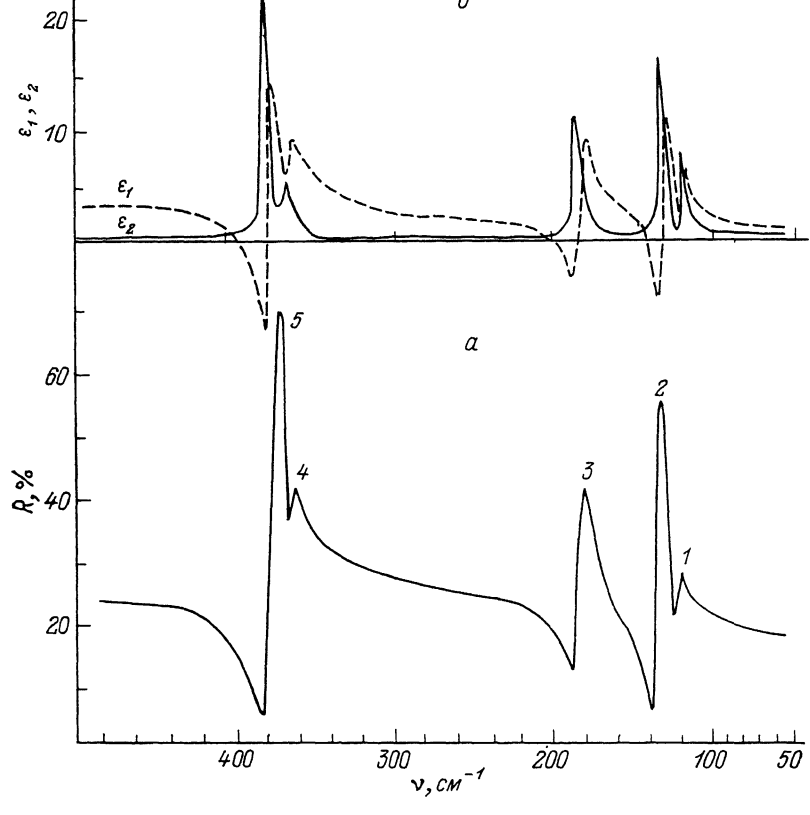


Рис. 1.

резонансные частоты оптических колебаний  $j$ -го осциллятора. Коэффициент отражения при этом определен как  $R(\omega) = \left| \frac{n(\omega) - 1}{n(\omega) + 1} \right|^2$ ,  $n(\omega) = \sqrt{\epsilon(\omega)}$ . Хорошее совпадение экспериментальных данных с расчетными наблюдается при значениях параметров фононов, приведенных в таблице. Частотные зависимости вещественной  $\epsilon_1(\omega)$  и мнимой  $\epsilon_2(\omega)$  частей диэлектрической проницаемости SiAs представлены на рис. 1, б и 2, б. Полученные значения диэлектрической постоянной в высокочастотной области удовлетворительно совпадают с данными [8, 9].

Монокристаллы SiAs обладают моноклинной решеткой с пространственной группой  $C_{2h}^5$  или  $C^2/m$  с параметрами кристаллической решетки  $a = 15.98 \text{ \AA}$ ,  $b = 3.660 \text{ \AA}$ ,  $c = 9.529 \text{ \AA}$  и  $\beta = 106^\circ$ ,  $V = 537 \text{ \AA}^3$  [1-3]. В элементарной ячейке содержится 12 формульных единиц. Структура слоистая, каждый слой состоит

из искаженных октаэдров мышьяка, соединенных острями. Внутри октаэдров имеется по два атома кремния, каждый из которых окружен как элемент 4-й группы, т. е. имеет тетраэдрически расположенные три атома мышьяка и один атом кремния.

Кристаллы SiAs моноклинной решетки и пространственной группы  $C_{2h}^3$  имеют критические точки фононного спектра  $\Gamma$ ,  $Y$ ,  $U$ ,  $R$ ,  $\lambda$  и  $G$ . Неприводимые представления фононных колебаний в центре зоны Бриллюэна имеют вид

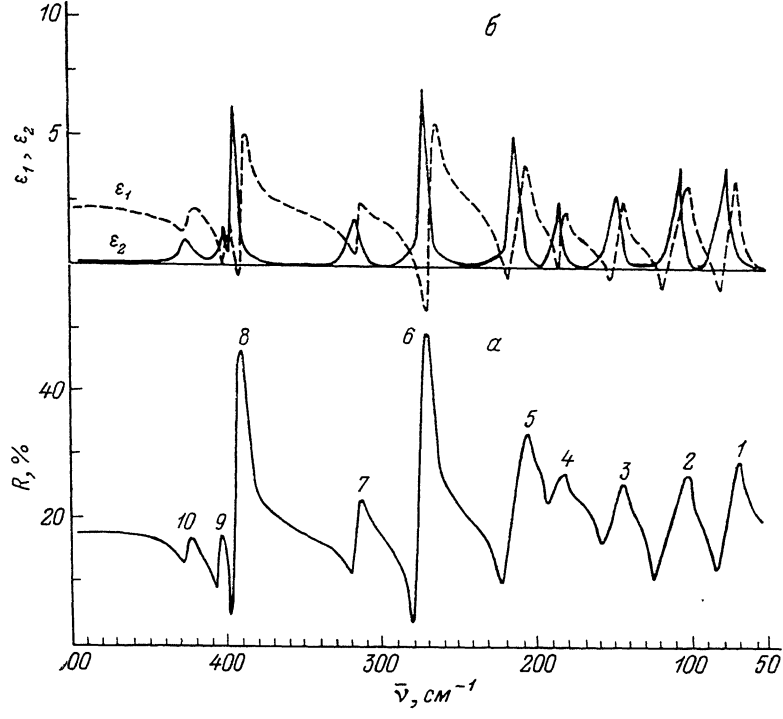


Рис. 2.

$\Gamma = 18 A_g + 18 B_g + 18 A_u + 18 B_u$ . В однофононных ИК спектрах могут проявиться 17 фононов симметрии  $A_u$  и 16 фононов симметрии  $B_u$  в поляризациях  $E \parallel b$  и  $E \perp b$  соответственно. В таблице приведены параметры фононов симметрии  $A_u$  и  $B_u$  в кристаллах SiAs.

Таким образом, для определения локальных колебательных мод комплексов SiAs в Si, легированных до высоких концентраций мышьяком, наиболее чувствительными окажутся колебательная полоса в области  $170-220 \text{ см}^{-1}$  и полосы в интервале  $360-400 \text{ см}^{-1}$ .

#### Список литературы

- [1] Wadsten T. // Acta Chem. Scand. 1965. V. 19. N 3. P. 1238—1239.
- [2] Chu T., Kelm R., Jr., Chu S. // J. Appl. Phys. 1971. V. 42. N 3. P. 1169—1173.
- [3] Ing S., Chiang J., Haas W. // J. Electrochem. Soc. Sol. St. Sci. 1967. V. 7. N 3. P. 761—762.
- [4] Nagishi T., Ogawa K., Kunioka A. // Danks Cakkei Rombunsi. 1976. V. 96-A. N 7. P. 295—304.
- [5] Beck G., Stickler R. // J. Appl. Phys. 1966. V. 37. N 13. P. 4683—4687.
- [6] Miller L., Kannewurf G. // J. Phys. Chem. Sol. 1970. V. 31. N 6. P. 849—855.
- [7] Домашевская Э. П., Угай Л. А., Мирошниченко С. Н. и др. // Изв. АН СССР. Неорг. матер. 1974. Т. 10. В. 4. С. 731—732.
- [8] Радаудан С. И., Сырбу Н. Н., Лукин А. Н., Киосев В. К., Фарберова О. В. // ФТП. 1978. Т. 12. В. 1. С. 43—46.
- [9] Kunioka A., Hok K., Sakai I. // J. Appl. Phys. 1974. V. 44. N 4. P. 1711—1792.